



Chapter 5

Passive and Active Current Mirrors

中科大微电子学院

黄 鲁

教材：模拟CMOS集成电路设计

Behzad Razavi



5.1基本电流镜

- 工作在饱和区的MOS管可当作电流源。
- 对电流源的要求：很大的小信号（动态）输出电阻，不能消耗过多的电压余度，即直流（静态）压降较小。
- 电流源的输出电阻、电容以及电压余度 与 输出电流的大小之间存在折衷 关系。
- 电流源的其它重要方面：与电源、工艺、温度的依赖性，输出噪声电流，与其它电流源的匹配。

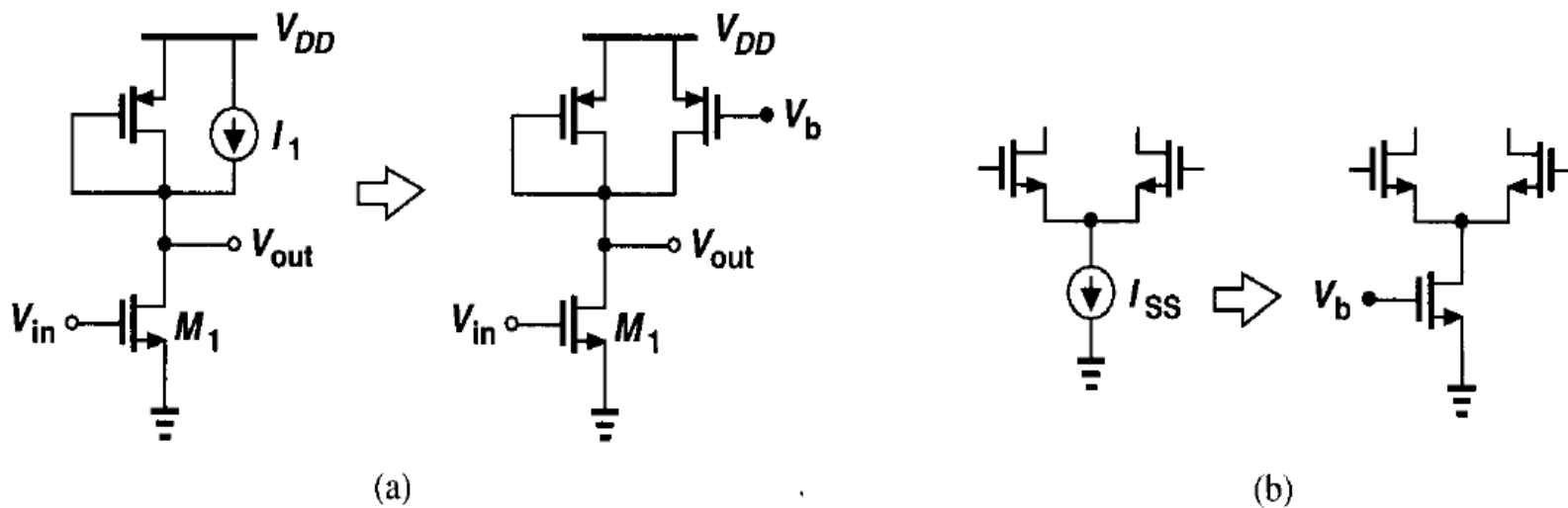
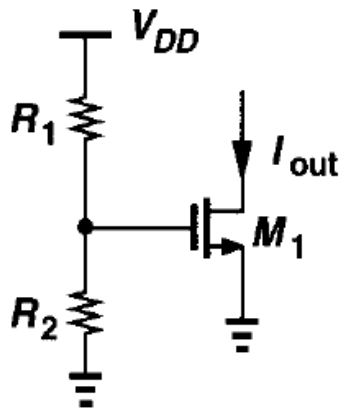


Figure 5.1 Applications of current sources.



如何给MOSFET加偏置使其作为稳定电流源？

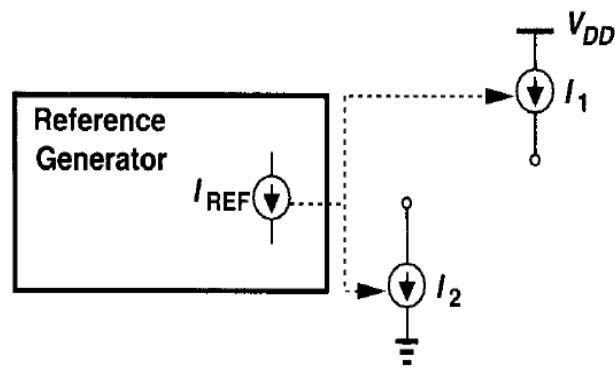


$$I_{out} \approx \frac{1}{2} \mu_n C_{ox} \frac{W}{L} \left(\frac{R_2}{R_1 + R_2} V_{DD} - V_{TH} \right)^2$$

- 电阻分压方法不好：
易受**电源**、**工艺**、**温度**、**噪声**影响。
- 不同晶片之间的阈值电压可能会有100mV的变化，即使栅源电压精确，也不能准确计算电流。
- 电流源的过驱动电压最佳在0.2~0.3V，若小于0.1V则对MOS阈值或偏置VB以及噪声敏感。

• 电流源设计方法：

基于对基准电流源的复制(假设有一个精确的电流源可供利用)，
电流优点：不受噪声电压影响！





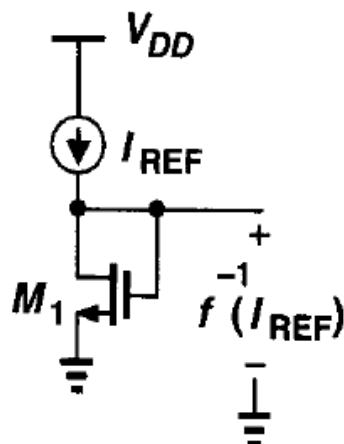
基本电流镜

设 $\lambda = 0$

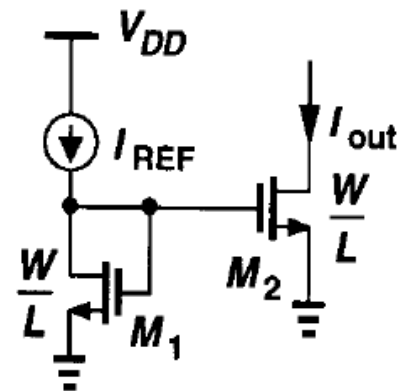
$$I_{REF} \approx \frac{1}{2} \mu_n C_{ox} \left(\frac{W}{L}\right)_1 (V_{GS} - V_{TH})^2$$

$$I_{out} \approx \frac{1}{2} \mu_n C_{ox} \left(\frac{W}{L}\right)_2 (V_{GS} - V_{TH})^2$$

$$\text{得: } I_{out} = \frac{(W/L)_2}{(W/L)_1} I_{REF}$$



(a)



(b)

Figure 5.5 (a) Diode-connected device providing inverse function, (b) basic current mirror.

电流镜优点：不受工艺、温度、噪声电压影响。



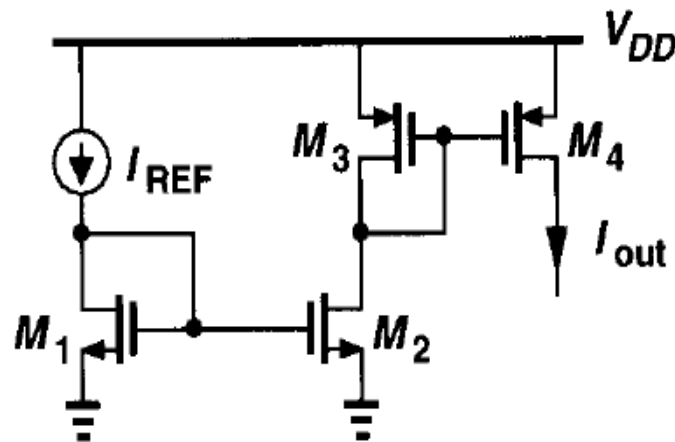
Example 5.1: 大比例电流输出情况

产生大电流源通常采用二级电流镜方法。

$$I_{D2} = \frac{(W/L)_2}{(W/L)_1} I_{REF} = \alpha I_{REF}$$

$$I_{D2} = I_{D3}$$

$$I_{D4} = \frac{(W/L)_4}{(W/L)_3} I_{D3} = \beta I_{D3} = \alpha\beta I_{REF}$$



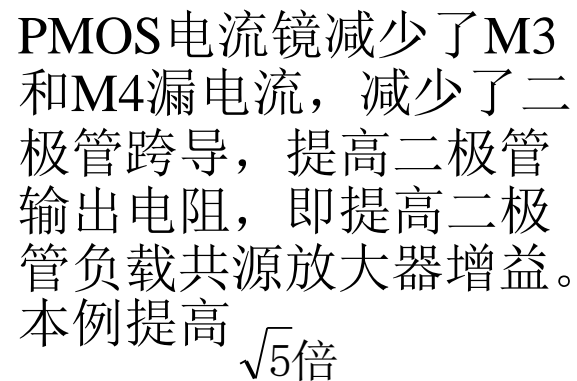
例 $I_{out} = 100 I_{REF}$.

令 $(W/L)_2 = 10 (W/L)_1$, $(W/L)_2 = 10 (W/L)_3$, M_3 与 M_1 尺寸相同, $I_2 = 10 I_{REF}$.

令 $(W/L)_4 = 10 (W/L)_3$, 则 $I_{out} = 10 I_3 = 10 I_2 = 100 I_{REF}$.

M_4 和 M_2 各是 M_1 的 10 倍尺寸。

实际版图设计时, M_2 是 10 个 M_1 并联组成。 M_4 是 10 个 M_3 并联组成。



- 器件阈值电压对沟道长度有一定的依赖性，电流值之比只能通过调节晶体管的宽度实现。因此电流镜中所有晶体管采用**相同尺寸**（最重要是L相同），以减少源漏区边缘扩散(LD)所产生的误差。



Example 5.2

Calculate the small-signal voltage gain of the circuit shown in Fig. 5.8.

M_1 小信号漏电流: $i_1 = g_{m1}V_{in}$

$$I_{D3} = I_{D2} \frac{(W/L)_3}{(W/L)_2} = I_{D1} \frac{(W/L)_3}{(W/L)_2}, \text{ 大小信号同样成立}$$

$$\text{小信号电流: } i_3 = i_1 \frac{(W/L)_3}{(W/L)_2} = g_{m1}V_{in} \frac{(W/L)_3}{(W/L)_2}$$

$$\text{电压增益: } \frac{V_{out}}{V_{in}} = \frac{i_3 R_L}{V_{in}} = g_{m1} R_L \frac{(W/L)_3}{(W/L)_2}$$

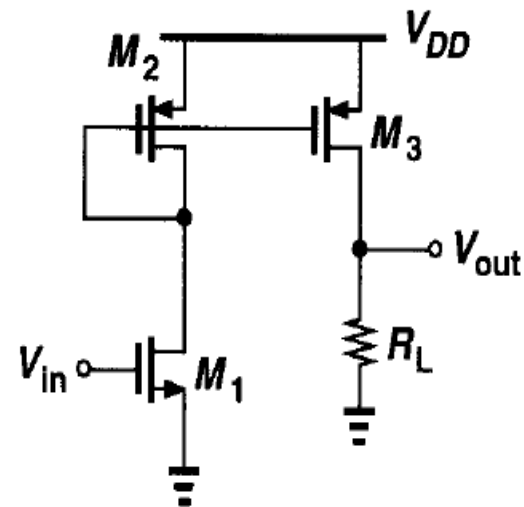


Figure 5.8

设计原则：尽量不采用电流换取放大增益。



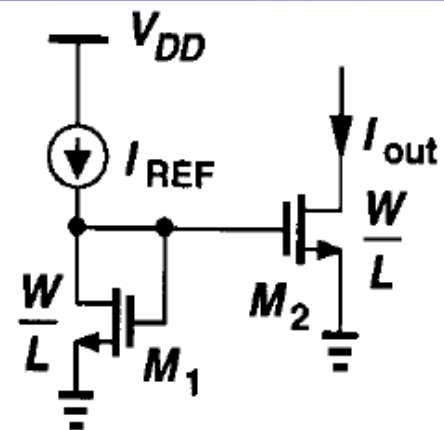
5.2 Cascode Current Mirrors

- 基本电流镜的缺点：

$$I_D = \frac{1}{2} \mu_n C_{ox} \frac{W}{L} (V_{GS} - V_{TH})^2 (1 + \lambda V_{DS})$$

$$\frac{I_{D2}}{I_{D1}} = \frac{\left(\frac{W}{L}\right)_2 (1 + \lambda V_{DS2})}{\left(\frac{W}{L}\right)_1 (1 + \lambda V_{DS1})}$$

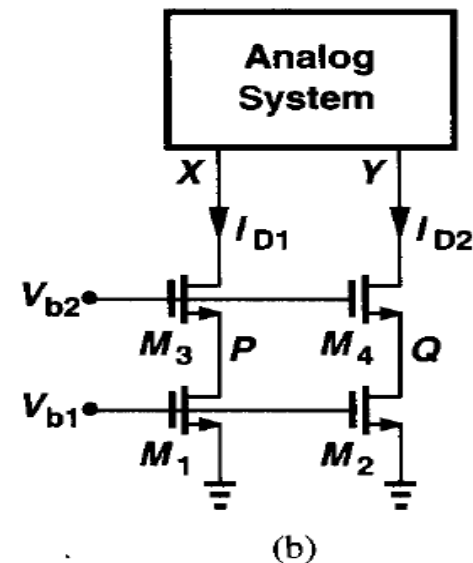
基本电流镜的L一般1~2um，不低于0.5um



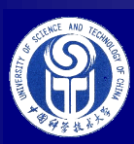
basic current mirror.

- 沟道长度调制影响很大。
- 虽然 $V_{DS1} = V_{GS1} = V_{GS2}$ ，但由于M2负载的影响， $V_{DS2} \neq V_{GS2}$
- CASCODE电流源能够较好地抑制沟道长度调制的影响。回顾图3.61(b)结论，CASCODE器件输出点（漏极）的电压变化对底部MOSFET（电流源）漏级电压影响被衰减得很小。
- 基本不用CASCODE电流源，原因？

$$\Delta V_P \approx \frac{\Delta V_X}{(g_{m3} + g_{mb3})r_{o3}}$$



(b)



Cascode Current Mirrors (cont.)

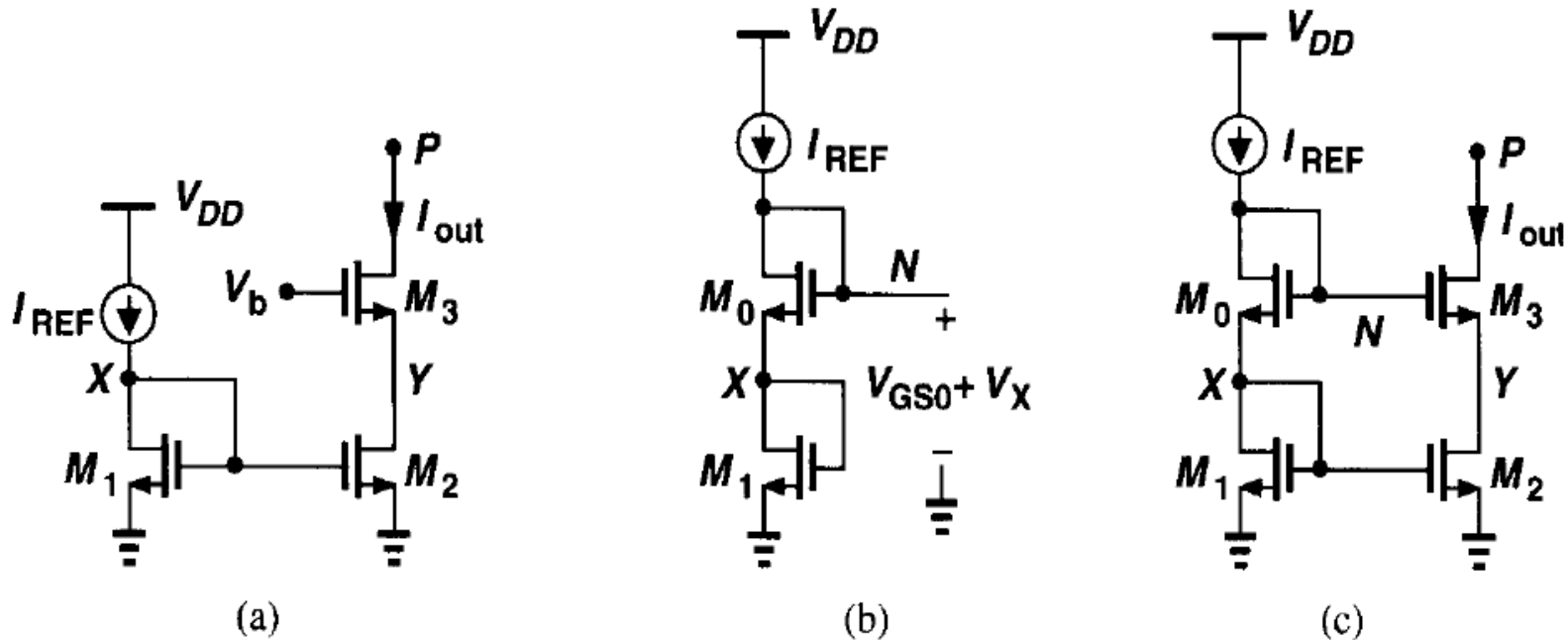


Figure 5.9 (a) Cascode current source, (b) modification of mirror circuit to generate the cascode bias voltage, (c) cascode current mirror.

- P点电压变化对Y点影响很小。
- $V_P > V_Y + V_{OD3} = V_{GS1} + V_{OD3} = V_{TH1} + V_{OD1} + V_{OD3}$

低压电源不能采用此电流源



Cascode Current Mirrors (cont.)

$$V_N = V_{GS0} + V_X = V_{GS3} + V_Y$$

$$\text{要求 } V_{GS0} = V_{GS3}$$

$$I_{REF} = \frac{1}{2} \mu_n C_{ox} \left(\frac{W}{L} \right)_0 (V_{GS0} - V_{TH})^2 = \frac{1}{2} \mu_n C_{ox} \left(\frac{W}{L} \right)_1 (V_{GS1} - V_{TH})^2$$

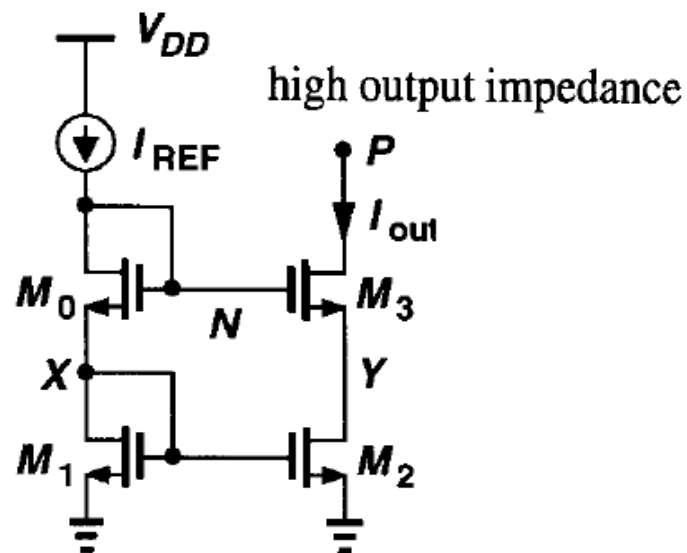
$$I_{out} = \frac{1}{2} \mu_n C_{ox} \left(\frac{W}{L} \right)_3 (V_{GS3} - V_{TH})^2 = \frac{1}{2} \mu_n C_{ox} \left(\frac{W}{L} \right)_2 (V_{GS2} - V_{TH})^2$$

$$\therefore V_{GS1} = V_{GS2}$$

$$\therefore \frac{\left(\frac{W}{L} \right)_0}{\left(\frac{W}{L} \right)_3} = \frac{\left(\frac{W}{L} \right)_1}{\left(\frac{W}{L} \right)_2}$$

即可实现: $V_{GS0} = V_{GS3}$

$$V_Y = V_X$$



- 考虑衬偏效应，由于 $V_{TH0} = V_{TH3}$ ，以上推导同样成立。

要求镜像电流为N整数倍：用N个参考MOS管拷贝（W为N倍，N=1,2,...）。
宽长比增大导致电流增大而VGS不变。



Example 5.3

In Fig. 5.10, sketch V_X and V_Y as a function of I_{REF} . If I_{REF} requires 0.5 V to operate as a current source, what is its maximum value?

求 V_N 上限时电流

$$I_{REF} = \frac{1}{2} \mu_n C_{ox} \left(\frac{W}{L} \right)_1 (V_X - V_{TH1})^2$$

$$= \frac{1}{2} \mu_n C_{ox} \left(\frac{W}{L} \right)_0 (V_N - V_X - V_{TH0})^2$$

$$V_X = \sqrt{\frac{2I_{REF}}{\mu_n C_{ox} \left(\frac{W}{L} \right)_1}} + V_{TH1} = V_Y$$

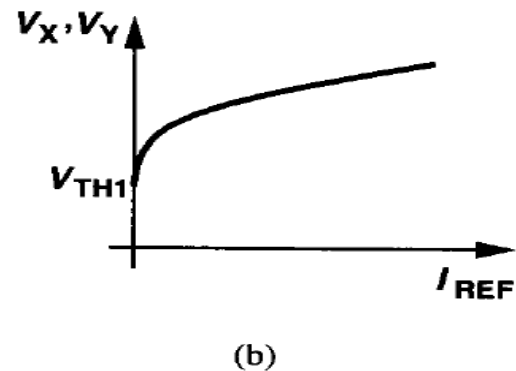
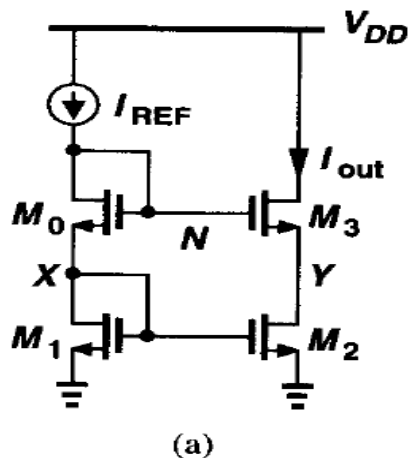


Figure 5.10

$$V_N = \sqrt{\frac{2I_{REF}}{\mu_n C_{ox} \left(\frac{W}{L} \right)_0}} + V_{TH0} + V_X = \sqrt{\frac{2I_{REF}}{\mu_n C_{ox} \left(\frac{W}{L} \right)_0}} + \sqrt{\frac{2I_{REF}}{\mu_n C_{ox} \left(\frac{W}{L} \right)_1}} + V_{TH1} + V_{TH0}$$

$$= \sqrt{\frac{2I_{REF}}{\mu_n C_{ox} \left(\frac{W}{L} \right)_0}} \left(\left(\frac{L}{W} \right)_0 + \left(\frac{L}{W} \right)_1 \right) + V_{TH1} + V_{TH0}$$

已知电流源两端电压最小为 $0.5V = V_{DD} - V_N$,
解出最大 $I_{REF,MAX}$



电压余度(voltage headroom)分析:

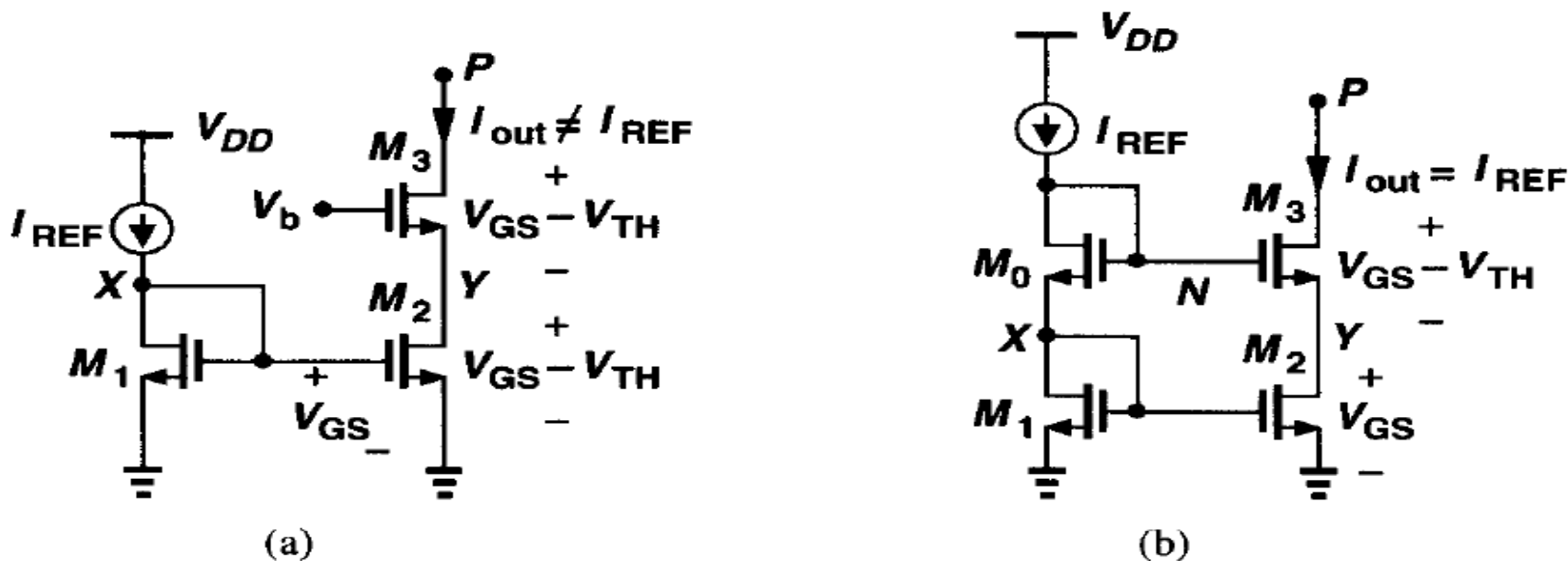
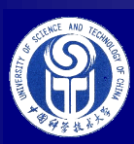


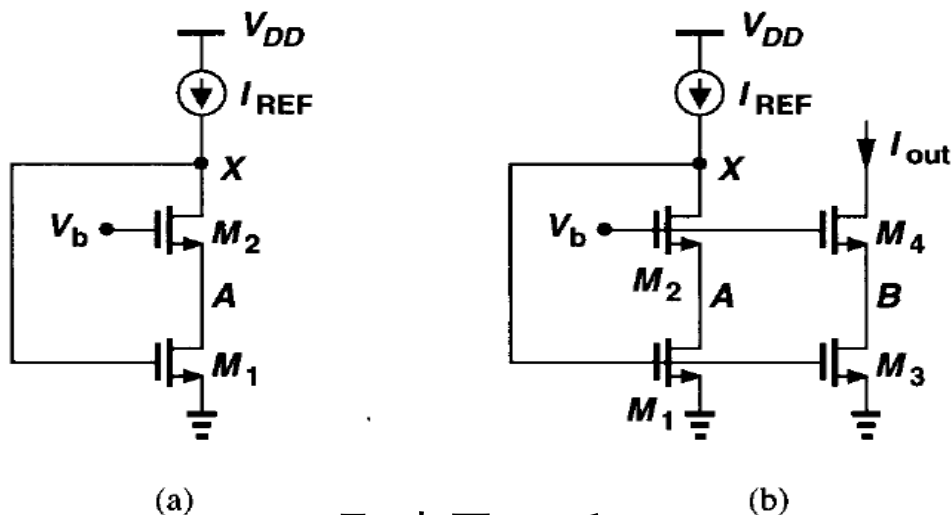
Figure 5.11 (a) Cascode current source with minimum headroom voltage, (b) headroom consumed by a cascode mirror.

- 图5.11(a): M_1 和 M_2 的漏极电压 (X 和 Y)不相同, 输出电流不能精确复制。但选择 V_b 可使 V_p 为最低允许值。
- 图5.11(b) 输出电压余度有损失的CASCODE电流镜

设计思路: 增大输出电压余度, 关键在于使 M_2 输出 Y 接近 V_{OD} , 且 X 和 Y 相同 (电流镜像要求), 要使 X 能降低。(b)结构不满足。



如何解决电流精度和电压余度之间的矛盾？



- 输出输入短路的CASCODE结构。
- 如何选择 V_b , 使 M_3 、 M_4 工作在饱和区边缘？

$$M_1 \text{ 饱和区: } V_{GS1} - V_{TH1} \leq V_A = V_b - V_{GS2}$$

$$\text{即: } V_{GS1} - V_{TH1} + V_{GS2} \leq V_b$$

Figure 5.13 Modification of cascode mirror for low-voltage operation.

$$V_{GS1} - V_{TH1} + V_{GS2} \leq V_b \leq V_{GS1} + V_{TH2}$$

$$V_{b, \min} = V_{GS1} - V_{TH1} + V_{GS2} = V_{GS2} + V_{OD1} = V_{GS3} - V_{TH3} + V_{GS4} = V_{GS4} + V_{OD3}$$

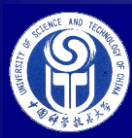
$$V_{out \min} = V_{b, \min} - V_{TH4} = (V_{GS3} - V_{TH3}) + (V_{GS4} - V_{TH4}) \quad \text{此时输出电压余度最大}$$

M1 饱和区对M2设计要求: $V_{GS2} - V_{TH2} \leq V_{DS2} < V_{TH1}$ 即 $(W/L)_2$ 有下限

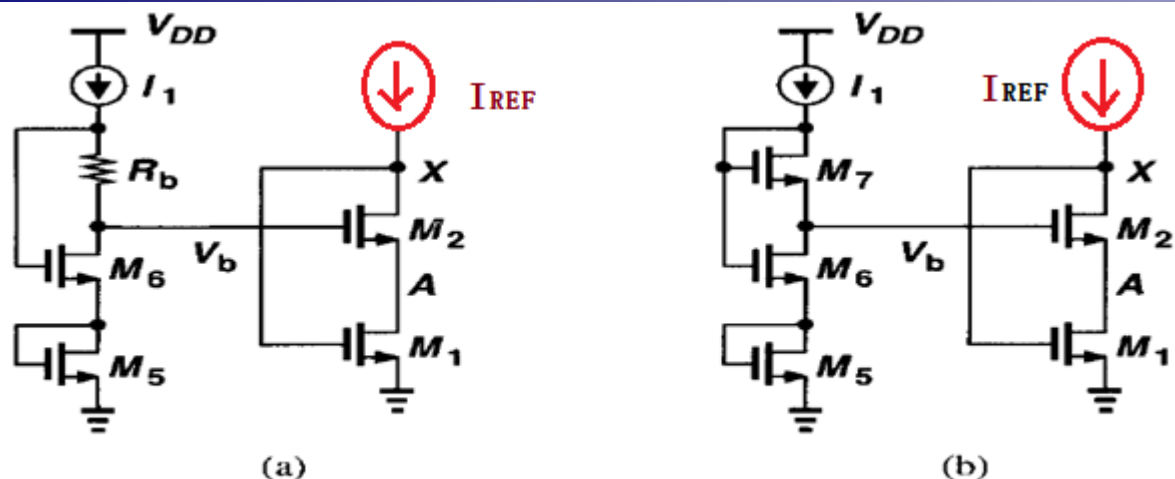
使 $V_{GS2} = V_{GS4}$ 可得到

$$\left(\frac{W}{L}\right)_2 = \left(\frac{W}{L}\right)_1$$

$$\left(\frac{W}{L}\right)_4 = \left(\frac{W}{L}\right)_3$$



如何产生V_b



I_1 很小时

未画出M3和M4组成的输出支路

$$\text{前页 } V_b \geq V_{GS2} + V_{OD1}$$

Figure 5.14 Generation of gate voltage V_b for cascode mirrors.

$$V_b = V_{DS6} + V_{GS5} \geq V_{OD1} + V_{GS2}$$

$$\text{使 } V_{GS5} = V_{GS2} \rightarrow V_{DS6} = V_{GS6} - I_b R_b \geq V_{OD1}$$

电压 $R_b I_b$ 不易控制，受工艺和温度影响大

图(b)二极管M7作为 R_b 。M7的W/L很大，从而使 $V_{GS7} = V_{TH7}$ ，

$$V_b = V_{DS6} + V_{GS5} = V_{GS6} - V_{GS7} + V_{GS5} = V_{GS6} - V_{TH7} + V_{GS5} \geq V_{GS1} - V_{TH1} + V_{GS2}$$

$$V_{GS6} - V_{TH7} \geq V_{GS1} - V_{TH1}, \text{ 因此 } V_{GS6} > V_{GS1}$$

这里 I_1 是另增用作 V_b 偏置的电流源，并不用作镜像电流源，该支路中MOS可任设



使用源级跟随器进行电平位移

- 插入 M_S , 使 $V_{GS,S} \approx V_{TH3}$

$$\text{则 } V_{N'} \approx V_N - V_{TH3} > V_{OD2} + V_{GS3}$$

- 如何设计使 $V_{GS,S} \approx V_{TH,S} \approx V_{TH3}$

$$I_S = \frac{1}{2} \mu_n C_{ox} \left(\frac{W}{L} \right)_S (V_{GS,S} - V_{TH,S})^2$$

具体做法是使电流源很小，而 $(W/L)_S$ 较大。
阈值电压不仅衬偏有关，还与 L 和finger有关

$$V_B = V_N - V_{GS3} = V_{GS0} + V_{GS1} - V_{GS,S} - V_{GS3}$$

$$\text{使 } V_{GS0} = V_{GS3} \quad = V_{GS1} - V_{GS,S} = V_{GS1} - V_{TH3}$$

- M_2 接近线性区！ M_2 、 M_1 不需要镜像性，但CASCODE保证了电流源输出阻抗很大。

当只有 I_{REF} 时

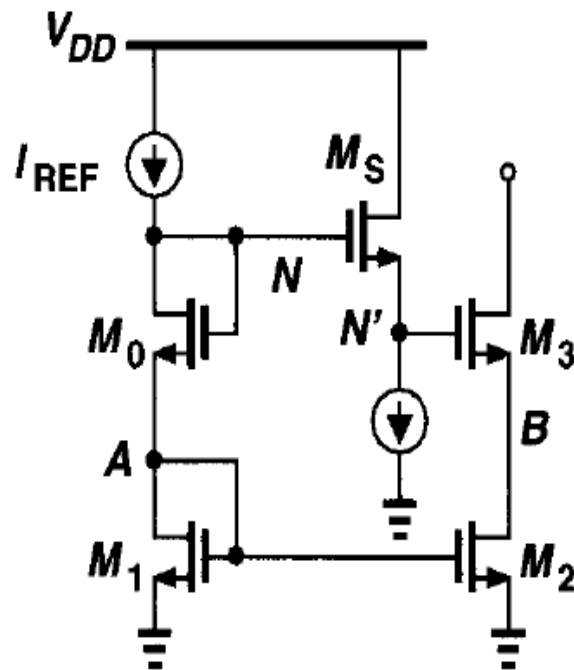
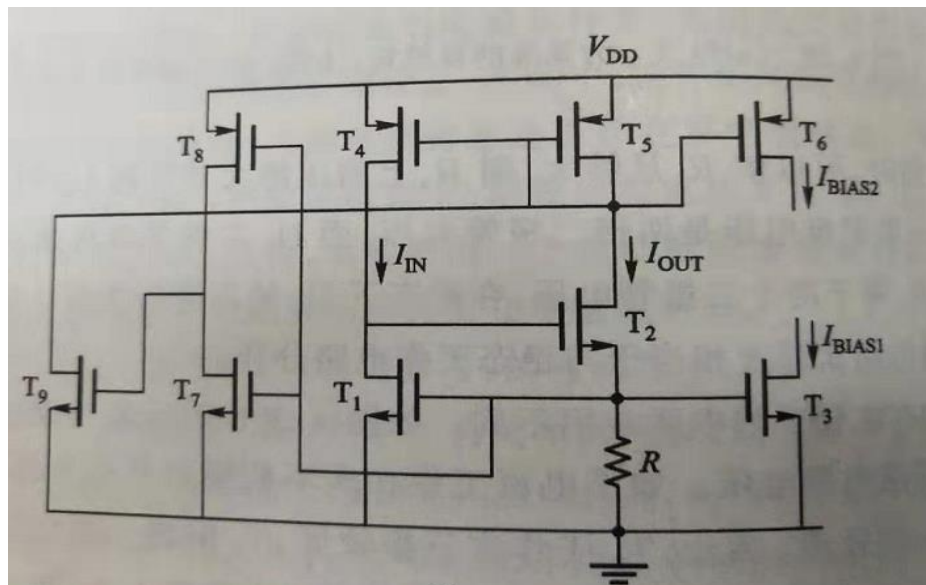


Figure 5.15 Low-voltage cascode using a source follower level shifter.



例：带有启动电路的阈值基准自偏置电路



左边启动电路，用以脱离电路上电初始的非期望0电流工作点；正常工作时自动关断

$$I_{out} = \frac{V_{GS1}}{R} = \frac{V_{th} + \sqrt{\frac{2I_{in}}{\mu C_{ox} \left(\frac{W}{L}\right)_1}}}{R}$$
$$= (V_{th} + V_{OD1})/R$$

当 I_{IN} 很小或 $(W/L)_1$ 很大时

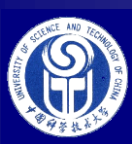
$$I_{out} = V_{th}/R$$

自偏置降低了电源电压的灵敏度

可实现较小的温度系数

$$TC = \frac{1}{I_{out}} \frac{\partial I_{out}}{\partial T} = \frac{1}{V_{th}} \frac{\partial V_{th}}{\partial T} - \frac{1}{R} \frac{\partial R}{\partial T}$$

电路优点：无需精确的参考电流源



5.3 Active Current Mirrors

电流镜用作电流源负载

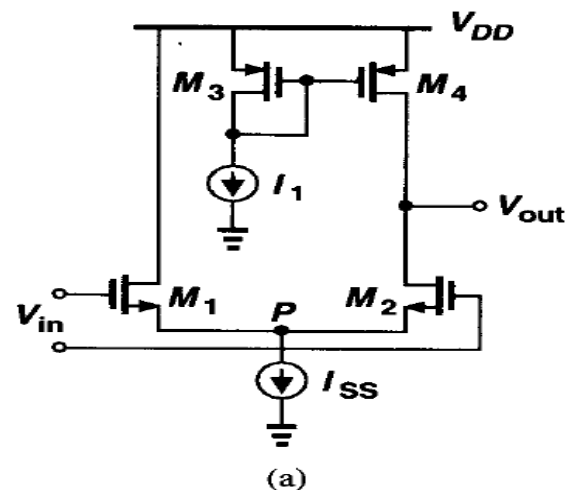
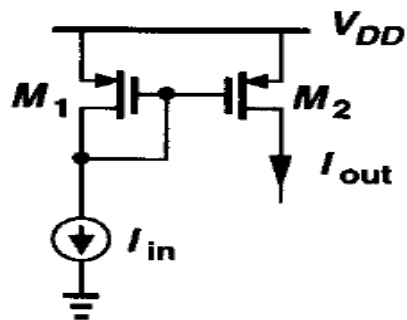
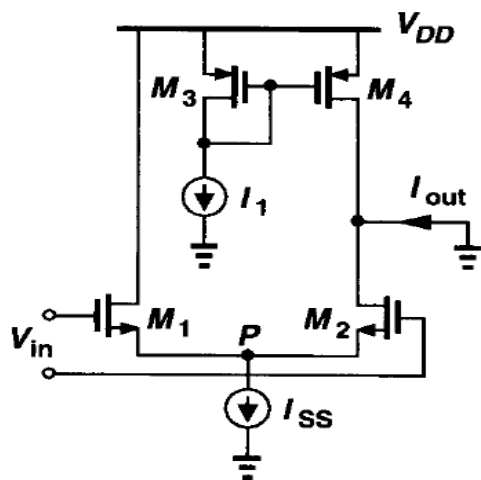


图5.17 带单端电流源负载的差动对



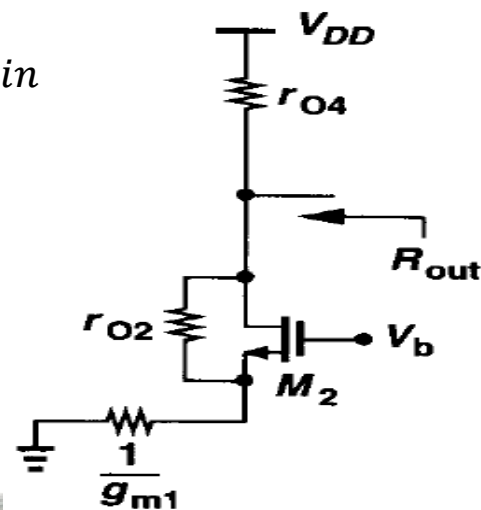
$$G_m = \frac{I_{out}}{V_{in}} = \frac{g_{m1} V_{in}/2}{V_{in}} = \frac{g_{m1}}{2}$$

$$v_{out} = \frac{v_{in}}{2} g_{m2} R_{out} = \left(\frac{g_{m2}}{2} R_{out} \right) v_{in}$$

浪费了M1的漏极小信号电流

图5.17(b) 计算g_m的电路

图5.17(c) 计算R_{out}的电路





改进电路：电流镜负载

$$V_{GS1} \uparrow \Rightarrow I_{D1} = I_{D3} = I_{D4} \uparrow \Rightarrow I_{D2} \downarrow$$

增量电流流向何处？

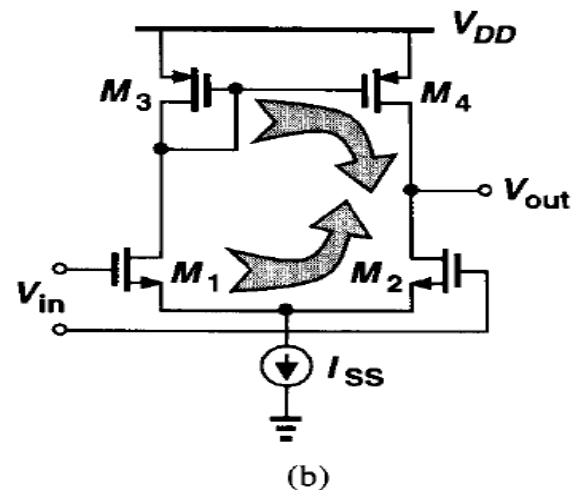
流向负载（包括输出端M2、M4的 $r_{o2} \parallel r_{o4}$ ）。

优点之一：与单端电流源负载相比，负载上有**双倍**电流变化！即利用了两边电路的全部输入信号。

优点之二：当理想匹配时，输出共模电平（直流工作点）确定。

优点之三：将双端输出转换成单端输出，适合某些单端输出要求。

使M1漏极交变小信号电流加到负载



输出端？

输出电压取决于M2和M4的电流差 I_{out} *负载（ $=R_L \parallel r_{o4} \parallel r_{o2}$ ），其中 $I_{out} = -I_{D4} - I_{D2}$ （ I_D 从D到S）。



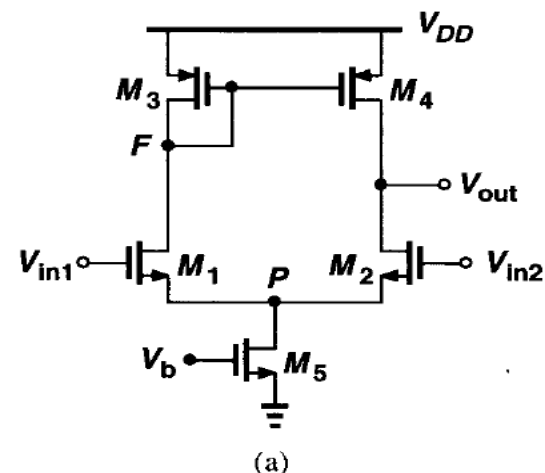
5.3.1 Large-signal analysis

正常工作状态时，输入应保证P点电位使尾电流源M5工作在饱和区。

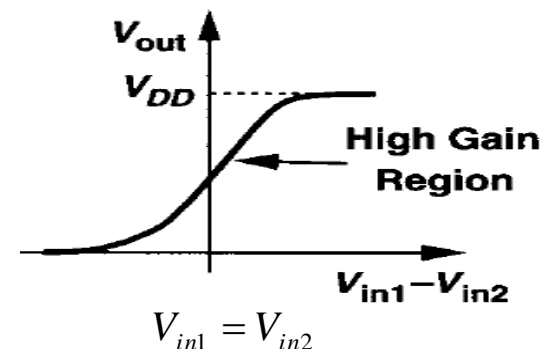
(1) V_{in1} 、 V_{in2} 在 V_{inCM} 附近时，M1~M5在饱和区，M3和M4电流变化相同，而M1和M2漏电流变化相反！

(2) $V_{in1}-V_{in2}$ 很正时（M1可能在线性区），尾电流全部流经M1，而M2截止， I_{D4} 上电流全部对负载充电使 V_{out} 上升，M4视负载和频率情况可能进入深线性区， $V_{out} \rightarrow V_{DD}$ 。

(3) $V_{in1}-V_{in2}$ 为负时， V_{out} 下降； $V_{in1}-V_{in2}$ 很负时，M1、M3和M4无电流；M2工作在深线性区，M5被M1压至深线性区， $V_{out} \rightarrow 0$ 。



(a) Differential pair with active current mirror



(b) large-signal input-output characteristic.

Figure 5.21



共模电平的设置

- 输出受输入限制:

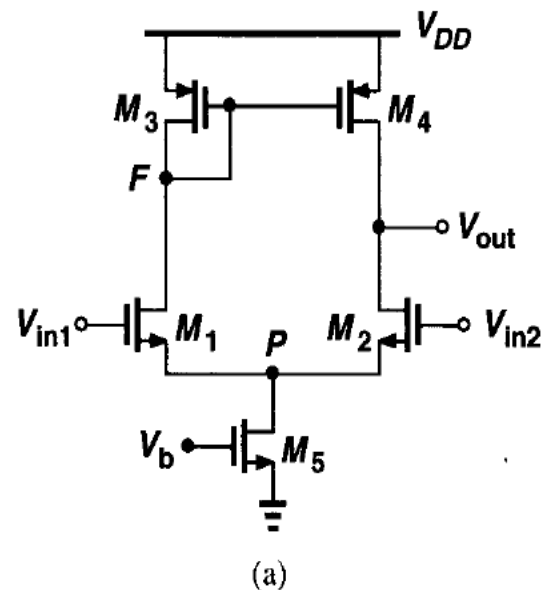
直流工作点 $V_{out} \geq V_{in,CM} - V_{TH2}$

最低输入共模电平 $V_{in,CM} = V_{GS1} + V_{DS5} > V_{GS1} + V_{OD5}$

- 一般设置 $V_{in,CM} = V_{out,CM}$ 约为 $V_{DD}/2$

$V_{in1} = V_{in2}$ 时, $V_{out} = V_{DD} - V_{GS3}$ 为确定值

- 该结论前提是电路严格对称!
- 实用中该电路很少开环使用。输出共模电平易受工艺失配影响!





5.3.2 小信号分析

- 对于差动小信号，Y点电压变化幅度比X点大！
左边电路是二极管负载的共源级（X阻抗小），
右边电路是类似电流源负载的共源级。

注意：大的交变信号时，P点不能看为虚地，不能用半边电路方法分析。

$$A_v = \frac{\partial I_{out}}{\partial (V_{in1} - V_{in2})} R_{out} = G_m R_{out},$$

设2输入端直流电平相同，

$$I_{out} = -I_{D4} - I_{D2},$$

I_D : 从漏到源电流，

— 表示PMOS电流从上到下)

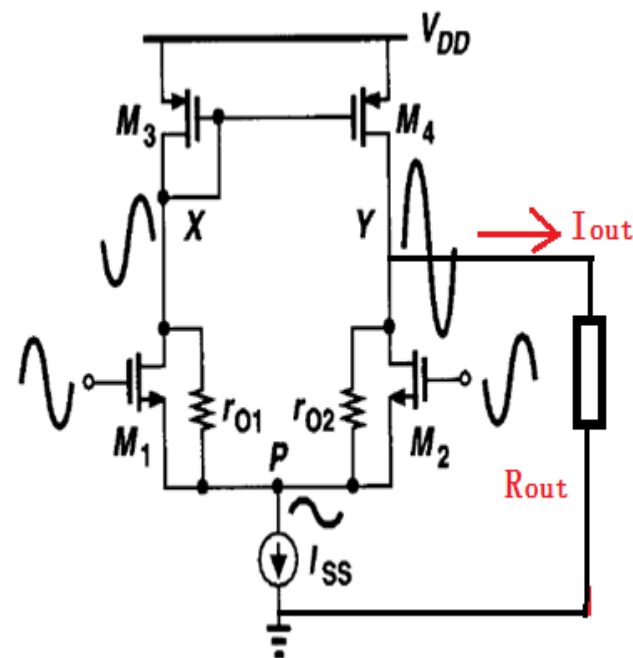
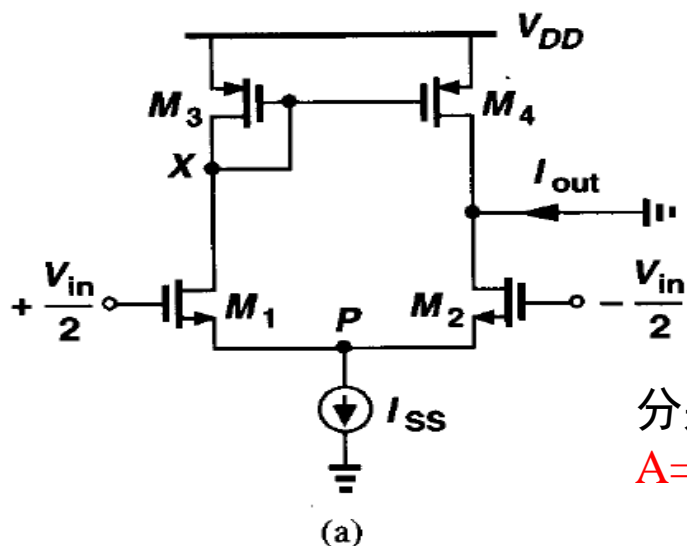


Figure 5.23 Asymmetric swings in a differential pair with active current mirror.

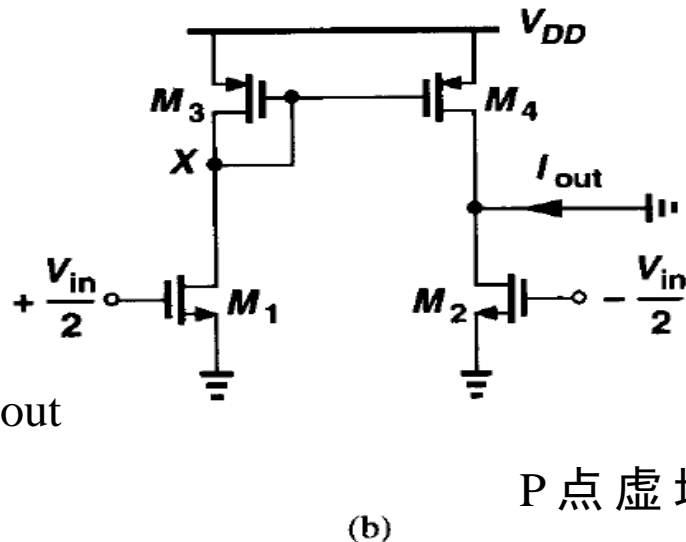
X点信号摆幅小，从X向M3看阻抗较小，约为 $1/g_{m3}$ ；



The first approach(方法) of computing gain



分别求 G_m , R_{out}
 $A = G_m * R_{out}$



P点虚地！

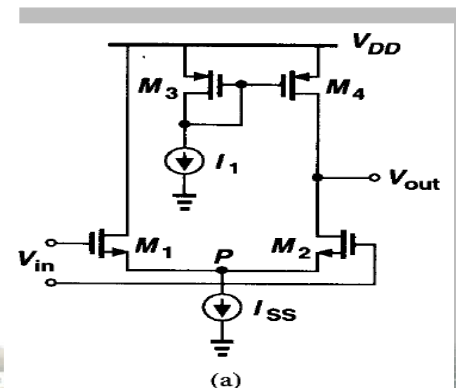
Figure 5.24 (a) Circuit for calculation of G_m , (b) circuit of (a) with node P grounded.

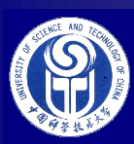
对于小幅度的交变信号，P点电位基本不变 \Rightarrow 交流虚地。

$$\text{交变小信号 } I_{D1} = -I_{D3} = -I_{D4} = g_{m1} \frac{V_{in}}{2}, \quad I_{D2} = g_{m2} \left(-\frac{V_{in}}{2} \right)$$

$$\begin{aligned} \text{流出交变小电流 } I_{out} &= -I_{D4} - I_{D2} = -I_{D3} - I_{D2} \\ &= I_{D1} - I_{D2} = g_{m1} V_{in} \end{aligned}$$

$$\therefore G_m = g_{m1} = g_{m2} \quad \text{与右图5.17相比，跨导增大了1倍。}$$





R_{out}?

$$R_{out} \approx (2r_{o2}) \parallel r_{o4} \text{ 错!}$$

- 交流小信号的等效电路不同! M4的栅电压不是恒定值。

$$R_{XY} = 2r_{o1} = 2r_{o2} \quad R_{eq} = \frac{1}{g_{m3}} \parallel r_{o3} = \frac{r_{o3}}{1 + g_{m3}r_{o3}} = \frac{1}{g_{m3}}$$

$$I_X = \frac{V_X}{2r_{o1} + R_{eq}} + \frac{V_X}{r_{o4}} + g_{m4}V_Y \quad V_Y = \frac{R_{eq}V_X}{2r_{o1} + R_{eq}}$$

$$\therefore I_X = \frac{V_X}{2r_{o1} + R_{eq}} + \frac{V_X}{r_{o4}} + \frac{g_{m4}R_{eq}V_X}{2r_{o1} + R_{eq}}$$

$$\approx V_X \left(\frac{1}{2r_{o1} + R_{eq}} + \frac{1}{r_{o4}} + \frac{1}{2r_{o1} + R_{eq}} \right) = \frac{2V_X}{2r_{o1} + R_{eq}} + \frac{V_X}{r_{o4}}$$

$$R_{out} = \frac{V_X}{I_X} = \frac{1}{\frac{1}{r_{o1} + \frac{R_{eq}}{2}} + \frac{1}{r_{o4}}} = (r_{o1} + \frac{R_{eq}}{2}) \parallel r_{o4}$$

$$\approx r_{o1} \parallel r_{o4} = r_{o2} \parallel r_{o4}, \text{ 即 } P \text{ 点虚地}$$

$$A_v = G_m * R_{out} \approx g_{m2}(r_{o2} \parallel r_{o4})$$

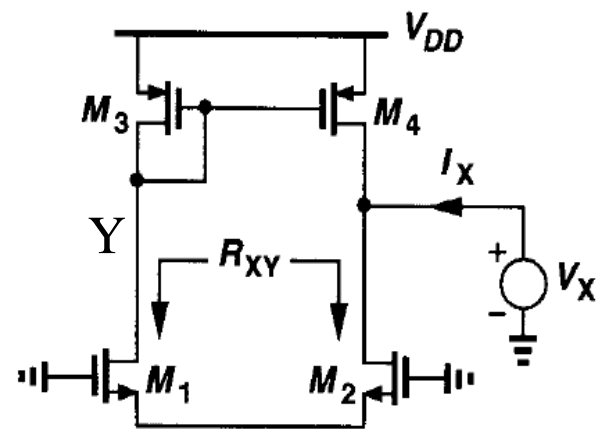
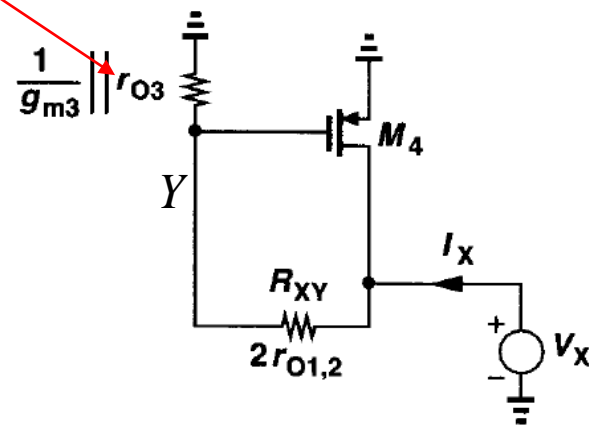


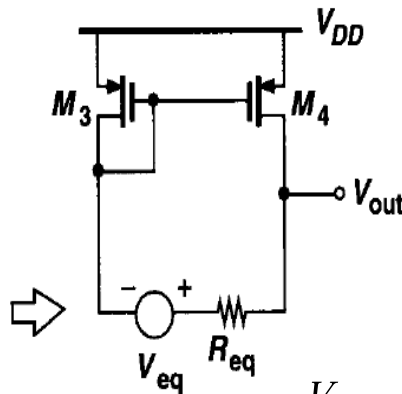
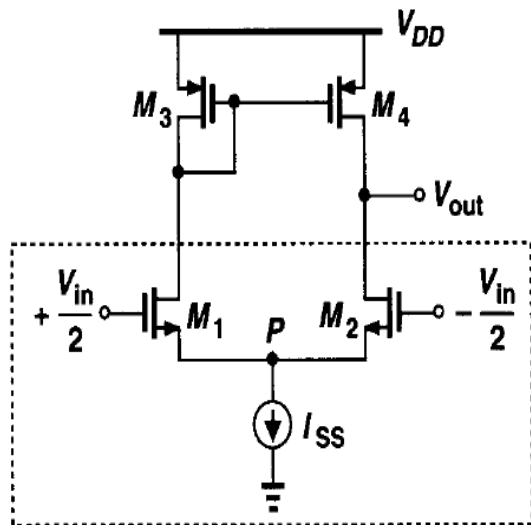
Figure 5.25 (a) Circuit for calculating R_{out}



(b) substitution of M_1 and M_2 by a resistor.



The second approach of computing voltage gain



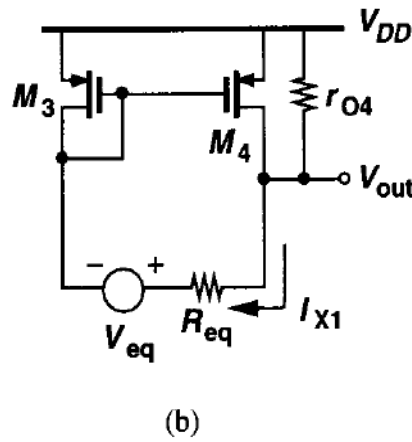
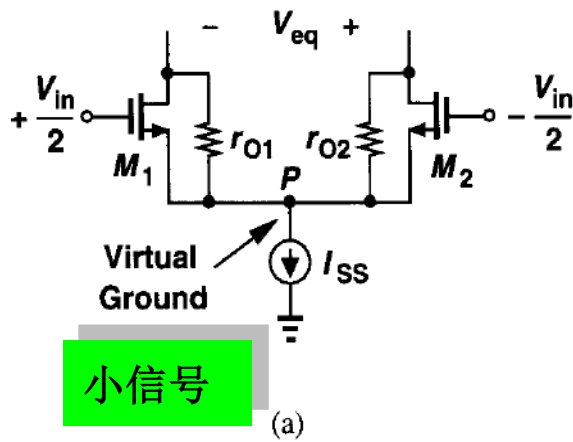
$$g_{m2} = g_{m1} = g_m$$

$$r_{o1} = r_{o2}$$

$$V_{eq} = [-g_{m2}(-V_{in}/2)r_{o2}] + (g_{m1}V_{in}/2)r_{o1}$$

$$= g_m r_{o1} V_{in}$$

Figure 5.26 Substitution of the input differential pair by a Thevenin equivalent.



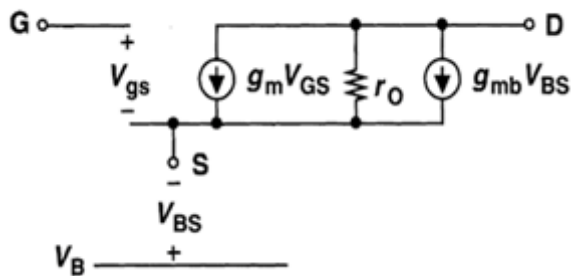
$$R_{eq} = 2r_{o1}$$

R_{eq} 上小信号电流

$$I_{X1} = \frac{V_{out} - g_{m1}r_{o1}V_{in}}{2r_{o1} + \frac{1}{g_{m3}} || r_{o3}}$$



补充说明：有源电流镜的小信号镜像

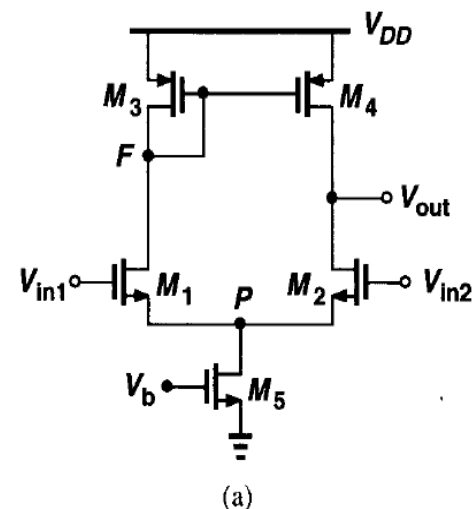


$$\text{小信号 } \partial I_D = g_m \partial V_{GS} + i_{ro}$$

$$\therefore g_{m3} \partial V_{GS} = \partial I_{D3} - i_{ro3} = g_{m4} \partial V_{GS}$$

- 即M3管中受控电流源 镜像到M4的受控电流源

$$M3 \text{ 中受控电流源的小信号电流为 } I_{x1} \frac{r_{o3}}{\frac{1}{g_{m3}} + r_{o3}}$$





计算电压增益的第二种方法（续）

二极管M3中的受控电流源
复制到了M4漏极中受控电流源 I_{DS4} 。

以下 I 和 V 均表示小信号：

$$I_{X1} + I_{DS4} + \frac{V_{out}}{r_{o4}} = \frac{V_{out} - g_{m1}r_{o1}V_{in}}{2r_{o1} + \frac{1}{g_{m3}} || r_{o3}} \left(1 + \frac{r_{o3}}{\frac{1}{g_{m3}} + r_{o3}} \right) + \frac{V_{out}}{r_{o4}} = 0$$

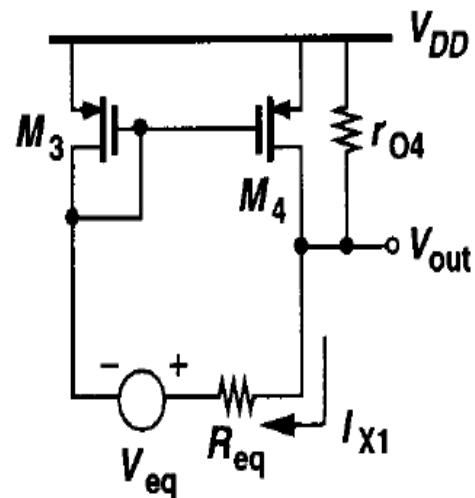
$$\text{上式约为 } \frac{V_{out} - g_{m1}r_{o1}V_{in}}{2r_{o1}} \times 2 + \frac{V_{out}}{r_{o4}} = 0$$

M3二极管阻抗 $r_{o3} || 1/g_{m3}$ 。
M4电流源阻抗 r_{o4} 。

$$\text{即 } \frac{V_{out}}{r_{o1}} - g_{m1}V_{in} + \frac{V_{out}}{r_{o4}} = V_{out} \left(\frac{1}{r_{o1}} + \frac{1}{r_{o4}} \right) - g_{m1}V_{in} = 0$$

$$\therefore \frac{V_{out}}{V_{in}} = \frac{g_{m1}}{\frac{1}{r_{o1}} + \frac{1}{r_{o4}}} = g_{m1}(r_{o1} || r_{o4}) = g_{m1}(r_{o2} || r_{o4}), \text{ 太繁!}$$

虚地！





5.3.3 Common-Mode Properties

- 简单起见，不考虑衬偏效应。

predict the consequences of a finite output impedance in the tail current source.

$$A_{CM}(\text{或记 } A_{vc}) = \frac{\partial V_{out}}{\partial V_{inCM}}$$

- 对于输入共模电平， $V_{out}=V_F$ ，F与X电平相当与短接，M4也成为二极管。

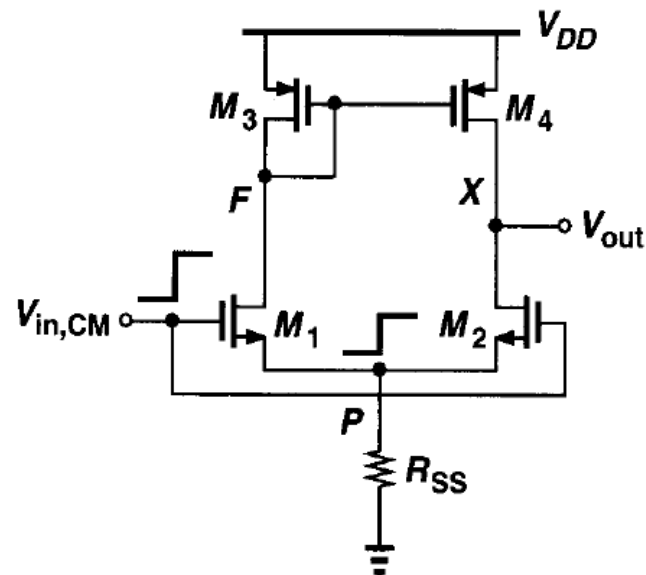
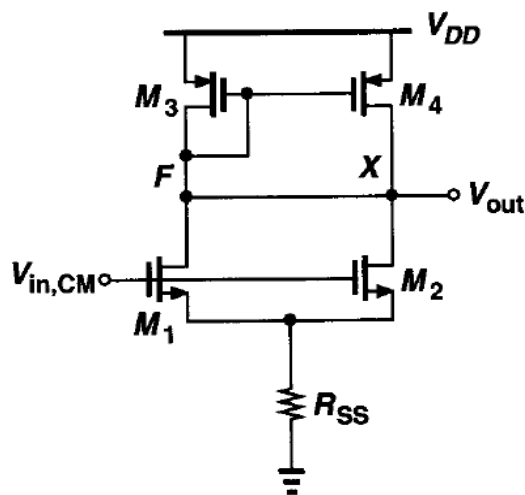
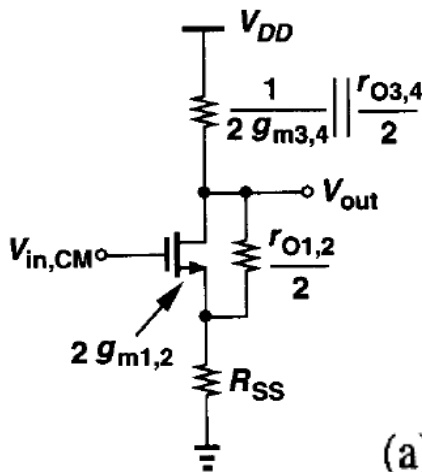


Figure 5.29 Differential pair with active current mirror sensing a common-mode change.



(a)



(b)

Figure 5.30

- (a) Simplified circuit of Fig. 5.29,
(b) equivalent circuit of (a).



Common-Mode Properties (cont.)

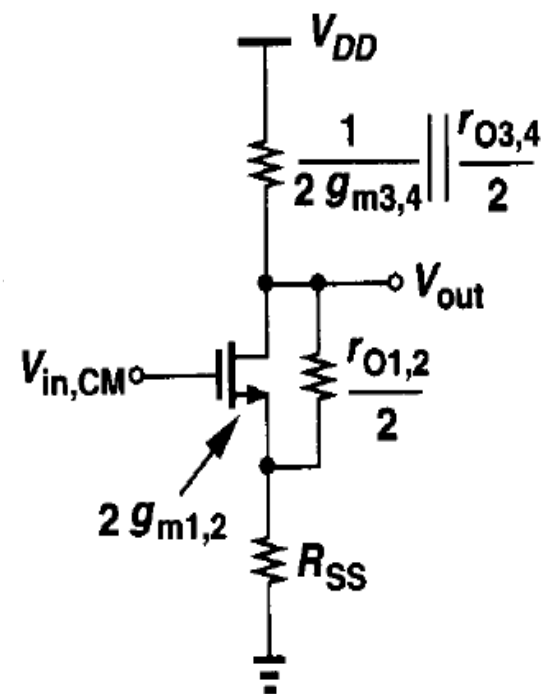
- 由P99图4.25式 (4.28) 得
(或P51图3.16式3.51)

$$A_{CM} = -\frac{\frac{1}{2g_{m3}} \parallel \frac{r_{o3}}{2}}{\frac{1}{2g_{m1}} + R_{SS}}$$

$$\because g_{m3}r_{o3} \gg 1 \quad \therefore \frac{1}{2g_{m3}} \parallel \frac{r_{o3}}{2} \approx \frac{1}{2g_{m3}}$$

$$A_{CM} \approx -\frac{\frac{1}{2g_{m3}}}{\frac{1}{2g_{m1}} + R_{SS}} = -\frac{g_{m1}}{g_{m3}(1 + 2g_{m1}R_{SS})} \quad (5.35)$$

$$CMRR = \left| \frac{A_{DM}}{A_{CM}} \right| = \frac{g_{m1}(r_{o2} \parallel r_{o4})}{\left(\frac{g_{m1}}{g_{m3}(1 + 2g_{m1}R_{SS})} \right)} = g_{m3}(1 + 2g_{m1}R_{SS})(r_{o2} \parallel r_{o4})$$



Rss越大越好！高频时由于尾电流源漏源之间寄生电容，Rss会降低！差动对共模噪声抑制会大大降低。



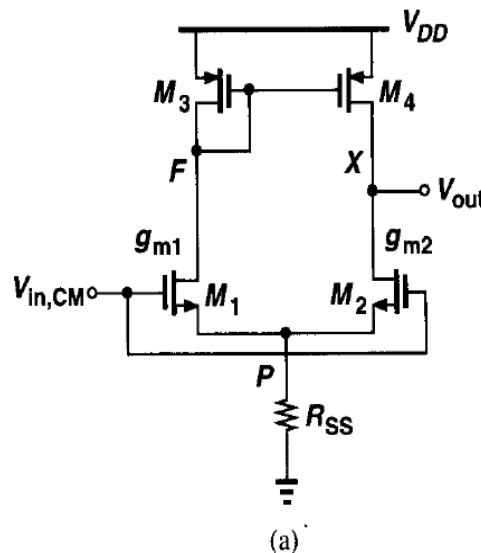
Common-mode gain in the presence of mismatches

失配情况下共模（噪声）增益=?
需要X点**负载**电流，才能得到输出电压（共模小信号）

先求P点电压（为得到 V_{gs} ）

第三章SF : $A_v = \frac{g_m R_S}{1 + (g_m + g_{mb})R_S}$

忽略衬偏效应 $\approx \frac{R_S}{1/g_m + R_S}$



P点输出相当于源级跟随器SF

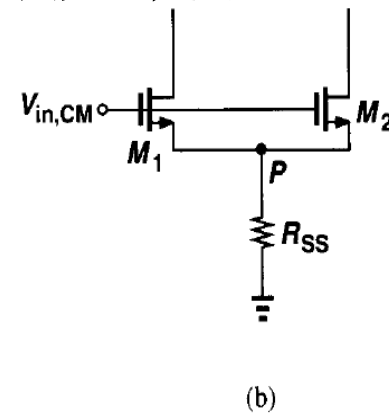
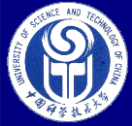


Figure 5.32 Differential pair with g_m mismatch.

$$\partial V_P = \partial V_{in,CM} \frac{R_{SS}}{R_{SS} + \frac{1}{g_{m1} + g_{m2}}} = \partial V_{in,CM} \frac{R_{SS}(g_{m1} + g_{m2})}{R_{SS}(g_{m1} + g_{m2}) + 1}$$

$$\partial I_{D1} = g_{m1}(\partial V_{in,CM} - \partial V_P) = \frac{g_{m1} \partial V_{in,CM}}{R_{SS}(g_{m1} + g_{m2}) + 1}$$

$$\partial I_{D2} = g_{m2}(\partial V_{in,CM} - \partial V_P) = \frac{g_{m2} \partial V_{in,CM}}{R_{SS}(g_{m1} + g_{m2}) + 1}$$



common-mode gain in the presence of mismatches.

$$\partial V_F = -\partial I_{D1} \left(\frac{1}{g_{m3}} \parallel r_{o3} \right) = -\frac{g_{m1} \partial V_{in,CM}}{R_{SS}(g_{m1} + g_{m2}) + 1} \times \frac{r_{o3}}{g_{m3}r_{o3} + 1} = \partial V_{GS4}$$

从M4漏极流出的电流变化:

$$\partial I_{D4} = -g_{m4} \partial V_F = g_{m4} \frac{g_{m1} \partial V_{in,CM}}{R_{SS}(g_{m1} + g_{m2}) + 1} \times \frac{r_{o3}}{g_{m3}r_{o3} + 1}$$

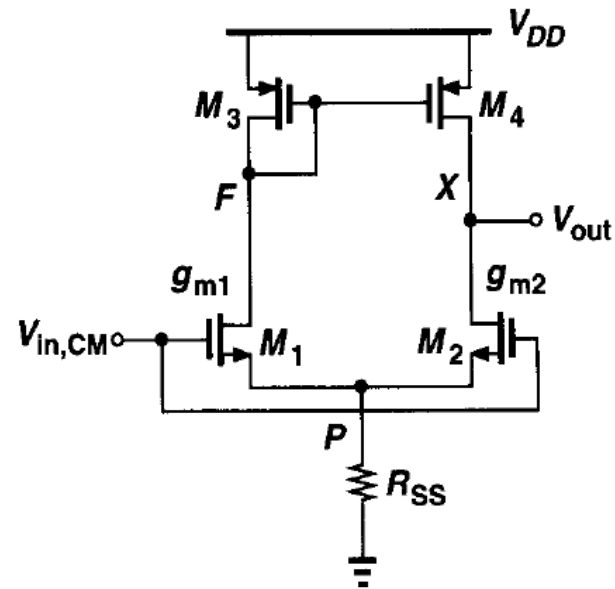
$$\partial V_{out} = (\partial I_{D4} - \partial I_{D2})(r_{o4} \parallel V_{out} \text{端M2漏极大阻抗, 可忽略})$$

$$\approx \left[g_{m4} \frac{g_{m1} \partial V_{in,CM}}{R_{SS}(g_{m1} + g_{m2}) + 1} \times \frac{r_{o3}}{g_{m3}r_{o3} + 1} - \frac{g_{m2} \partial V_{in,CM}}{R_{SS}(g_{m1} + g_{m2}) + 1} \right] r_{o4}$$

$$= \frac{\partial V_{in,CM}}{R_{SS}(g_{m1} + g_{m2}) + 1} \left(\frac{g_{m3}r_{o3}}{g_{m3}r_{o3} + 1} g_{m1} - g_{m2} \right) r_{o4}$$

$$= \frac{\partial V_{in,CM}}{R_{SS}(g_{m1} + g_{m2}) + 1} \left[\frac{g_{m3}r_{o3}(g_{m1} - g_{m2}) - g_{m2}}{g_{m3}r_{o3} + 1} \right] r_{o4}$$

$$\frac{\partial V_{out}}{\partial V_{in,CM}} \approx \frac{(g_{m1} - g_{m2})r_{o4} - \frac{g_{m2}}{g_{m3}}}{R_{SS}(g_{m1} + g_{m2}) + 1}$$



设 $g_{m3} = g_{m4}$, $r_{o3} = r_{o4}$

$g_{m1} = g_{m2}$ 时

$$\frac{\partial V_{out}}{\partial V_{in,CM}} = \frac{-\frac{g_{m2}}{g_{m3}}}{R_{SS}(2g_{m2}) + 1} = \frac{-\frac{1}{2g_{m3}}}{R_{SS} + \frac{1}{2g_{m2}}}$$



本章总结

电流镜的主要作用：

- (1) 产生偏置电路电压，不随温度、工艺变化；
- (2) 作为差分放大器负载，具有高增益、确定的共模输出的优点；但对失配极为敏感。